

УДК 538.956.403:547.422:547.426

РЕЛАКСАЦИОННЫЕ ПРОЦЕССЫ ПЕРЕСТРОЙКИ СТРУКТУРЫ КЛАСТЕРОВ В ЖИДКОСТИХ. 1,2-ЭТАНДИОЛ, 1,2-ПРОПАНДИОЛ И 1,2,6-ГЕКСАНДРИОЛ

© 2011 Т.М. Усачева, В.И. Журавлев*, Н.В. Лифанова, В.К. Матвеев

Московский государственный университет им. М.В. Ломоносова, химический факультет

Статья поступила 12 мая 2011 г.

Диэлектрические спектры (ДРС) 1,2-этандиола, 1,2-пропандиола и 1,2,6-гександриола проанализированы с помощью модели Диссадо—Хилла (ДХ) в широком интервале температур, при этом все необходимые для расчета дипольных моментов кластеров параметры находили в рамках самой молекулярной модели ДХ. Изучена зависимость равновесных и релаксационных характеристик ДРС от длины углеводородного радикала и числа OH-групп. Рассчитаны дипольные моменты кластеров. Показано, как в зависимости от температуры перераспределяются роли процессов внутрикластерных перестроек за счет разрыва водородных связей и флуктуационных процессов синхронного обмена молекул между кластерами.

Ключевые слова: диолы, триолы, диэлектрические спектры, релаксационные процессы, флуктуационные процессы, дипольные моменты кластеров.

Диэлектрическая спектроскопия изучает как равновесные, так и кинетические (релаксационные) свойства веществ [1, 2]. В жидкой фазе диолов и триолов выше температур стеклования T_g присутствуют трехмерные пространственные сетчатые структуры (кластеры), образованные внутри- (ВМВС) и межмолекулярными (МВС) водородными H-связями. При каждой температуре существует распределение кластеров по форме и размерам, которому соответствует среднестатистический квадрат дипольного момента кластера $\langle \mu_c^2 \rangle$.

Анализ статических диэлектрических проницаемостей ϵ_s в рамках теории Онзагера—Кирквуда—Фрелиха (ОКФ) позволяет оценивать среднестатистические дипольные моменты молекул μ_m [1, 2]. Сопоставляя величины μ_m с дипольными моментами молекул в газовой фазе μ_v , удается получать качественную информацию о преимущественной ориентации молекул в кластерах диолов и триолов [3—9]. С помощью метода молекулярного моделирования могут быть построены пространственные модели кластеров и их распределения по концентрациям, но нет теории, которая связывала бы расчеты с диэлектрическими свойствами, как в случае одноатомных спиртов (алканолов) (см., например, [10]).

Теория Диссадо—Хилла (ДХ) [11—16] позволяет рассчитывать величины дипольных моментов кластеров μ_c диолов и триолов, но без конкретизации структуры кластеров. Для этого необходимы такие экспериментальные данные о релаксационных диэлектрических свойствах жидкостей как амплитуды областей дисперсии и времена релаксации. Модель ДХ для описания макроскопических экспериментальных диэлектрических спектров $\epsilon(\omega) = \epsilon'(\omega) + \epsilon''(\omega)$, где $\epsilon'(\omega)$ и $\epsilon''(\omega)$ — диэлектрические проницаемости и потери, имеет два параметра корреляции процессов перестройки структуры кластеров, как и уравнение Гаврильяка—Негами (ГН) [17]. В работах [16, 18] приведены соотношения, связывающие между собой параметры уравнений ГН и ДХ. Кроме того, модель ДХ (в отличие от уравнения ГН) содержит два уравнения, связы-

* E-mail: zhura-061@yandex.ru

вающих время релаксации и амплитуду области дисперсии с энергетическими характеристиками процессов перестройки микроструктуры и среднестатистическим дипольным моментом кластера μ_c .

В опубликованных нами ранее работах о ДРС 1,2-этандиола (ЭД) [7, 8], 1,2-пропандиола (ПД) [9, 22] и 1,2,6-гексантриола (ГТ) [6] при нахождении параметров модели ДХ, необходимых для расчета μ_c , мы привлекали данные о микроволновых спектрах (МС) и калориметрии.

В настоящей работе было решено две задачи. Во-первых, сравнение ДРС ЭД, ПД и ГТ позволило проследить, как зависят макро- и микроскопические свойства многоатомных спиртов от числа гидроксильных OH-групп и длины углеводородного (у/в) радикала. Во-вторых, на примере данных веществ была рассмотрена возможность выбора необходимых параметров в рамках самой модели ДХ, частично описанная нами в работах [9, 22].

Экспериментальные данные о дисперсии $\varepsilon(\omega)$ ЭД [7, 8], ПД [9, 22] и ГТ [6] были проанализированы нами ранее с помощью уравнения ДХ:

$$\frac{\varepsilon(\omega) - \varepsilon_{\infty DH}}{\varepsilon_s - \varepsilon_{\infty DH}} = \left(1 + i \frac{\omega}{\omega_{DH_e}}\right)^{n_{DH}^{-1}} \frac{{}_2F_1[1-n_{DH}, 1-m_{DH}; 2-n_{DH}; (1+i\omega/\omega_{DH_e})^{-1}]}{{}_2F_1[1-n_{DH}, 1-m_{DH}; 2-n_{DH}; 1]}, \quad (1)$$

где ${}_2F_1[\dots]$ — гипергеометрические функции Гаусса; ε_s — статическая диэлектрическая проницаемость; $\varepsilon_{\infty DH}$ и $(\varepsilon_s - \varepsilon_{\infty DH})$ — высокочастотный предел и амплитуда области дисперсии; $\omega_{DH_e} = 1/\tau_{DH_e}$ — частота релаксации; τ_{DH_e} — интегральное время релаксации.

Как детально описано в работах [11—15], в модели ДХ степень структурной упорядоченности среднестатистического кластера минимального размера характеризуется параметром $0 \leq n_{DH} \leq 1$. Кластеры, в свою очередь, образуют межкластерные структуры, степень структурной упорядоченности внутри которых определяется параметром $1 - m_{DH}$, где $0 \leq m_{DH} \leq 1$.

Перестройка молекулярной структуры кластеров обусловлена тремя кооперативными процессами. Первый, самый быстрый, процесс связан с круговыми частотами колебаний молекул внутри кластеров ζ . Второй, более медленный, процесс обусловлен переориентацией дипольных моментов молекул внутри кластера, когда энергия теплового движения молекул достаточна, чтобы преодолеть активационный барьер U_{DH} . Корреляция таких процессов характеризуется параметром n_{DH} . Самыми медленными являются процессы синхронного обмена молекулами между соседними кластерами, которые рассматриваются как флуктуации обмена молекулами, а корреляция между ними характеризуется параметром m_{DH} .

При выборе параметров уравнения (1) для описания изученных нами ДРС ЭГ, ПГ и ГТ мы учитывали, что авторы работ [6—8] описывали ДРС данных веществ уравнением Дэвидсона—Коула (ДК). Поэтому уравнение ДХ (1) было использовано в форме, эквивалентной уравнению (ДК), т.е. когда параметры уравнений ДХ и ДК (β_{DC} , τ_{DCe}) связаны между собой соотношениями $m_{DH} = 1$, $1 - n_{DH} = \beta_{DC}$, $\omega_{DH_e} = 1/\tau_{DCe}$ [16, 18]. В результате объединения имеющихся в литературе и полученных нами данных о ДРС интервалы температур были расширены до области стеклования: 161—453 К для ЭГ [7, 8], 175—423 для ПД [9, 22] и 238—423 К для ГТ [6]. Значения ε_s , τ_{DH_e} , n_{DH} , $\varepsilon_{\infty DH}$ и $(\varepsilon_s - \varepsilon_{\infty DH})$ были определены методом наименьших квадратов с использованием алгоритма минимизации Брента. Далее эти значения были использованы для расчета средних дипольных моментов кластеров μ_c .

Можно было предполагать, что молекулярные структуры кластеров рассматриваемых веществ различны, и эти различия могут проявляться на макроуровне в равновесных (статические диэлектрические проницаемости ε_s) и релаксационных свойствах (дисперсии $\varepsilon(\omega)$) (рис. 1).

Прежде чем сравнивать ε_s и $\varepsilon(\omega)$, кратко остановимся на измерении дипольных моментов изолированных молекул μ_v ЭД, ПД и ГТ. К настоящему времени опубликован ряд работ, в которых проанализированы экспериментальные МС молекул ЭД [7, 23] и ПД [24—27] в газовой фазе и с помощью квантово-механических расчетов оценены энергии различных конформеров. Для ЭД наиболее устойчивыми являются *гоши*-конформеры с $\mu_{vt} = 2,28$ Д [7, 23]. Для ПД авторы работы [24] дополнили свои МС данными других авторов [25—27], чтобы охватить более

Рис. 1. Сравнение равновесных и релаксационных свойств ЭД (1), ПД (2) и ГТ (3): зависимости статической диэлектрической проницаемости ϵ_s от $1/T$ (а), диаграммы Коула—Коула при 333 К (б)

широкой интервал частот и повысить точность расчетов μ_v . Поэтому их вывод, что наиболее стабильным в газовой фазе является конформер $tG'g$ с $\mu_v = 2,29 \text{ Д}$ представляется наиболее достоверным. Значения дипольных моментов молекул, определенные в разбавленных растворах в диоксане [23, 28]: $\mu_v(\text{ЭД}) =$

$= 2,2\text{--}2,30 \text{ Д}$ и $\mu_v(\text{ПД}) = 2,2\text{--}2,28 \text{ Д}$, свидетельствуют о том, что в жидкой фазе преобладают те же конформеры, что и в газовой фазе. Видно, что средние величины μ_v для ЭД и ПД практически совпадают ($2,25 \text{ Д}$). Для ГТ значение μ_v , определенное нами в разбавленных растворах в диоксане [23], составляет $2,73 \text{ Д}$.

Как видно из рис. 1, а, несмотря на одинаковые μ_v у молекул ЭД и ПД, $\epsilon_s(\text{ЭД}) > \epsilon_s(\text{ПД})$, $\mu_v(\text{ГТ}) > \mu_v(\text{ПД})$, но в рассмотренном интервале температур (238—423 К) $\epsilon_s(\text{ГТ})$ и $\epsilon_s(\text{ПД})$ совпадают в пределах 5 %, т.е. длина у/в радикала ГТ нивелирует присутствие третьей ОН-группы. Различие амплитуд областей дисперсии ГТ и ПД такое же, как между их ϵ_s , но диэлектрические потери $\epsilon''(\text{ЭД}) > \epsilon''(\text{ПД}) > \epsilon''(\text{ГТ})$ (см. рис. 1, б). Вследствие этого релаксационные характеристики — времена релаксации τ_{DHe} и параметры корреляции n_{DH} — различаются (рис. 2, а и б).

Как и следовало ожидать, интегральные времена релаксации возрастают с ростом молекулярной массы в последовательности $\tau_{DHe}(\text{ГТ}) > \tau_{DHe}(\text{ПД}) > \tau_{DHe}(\text{ЭД})$ (см. рис. 2, а) во всем интервале температур. В то же время соотношение параметров корреляции процессов внутрикластерных перестроек n_{DH} в этих веществах сильно зависит от температуры (см. рис. 2, б).

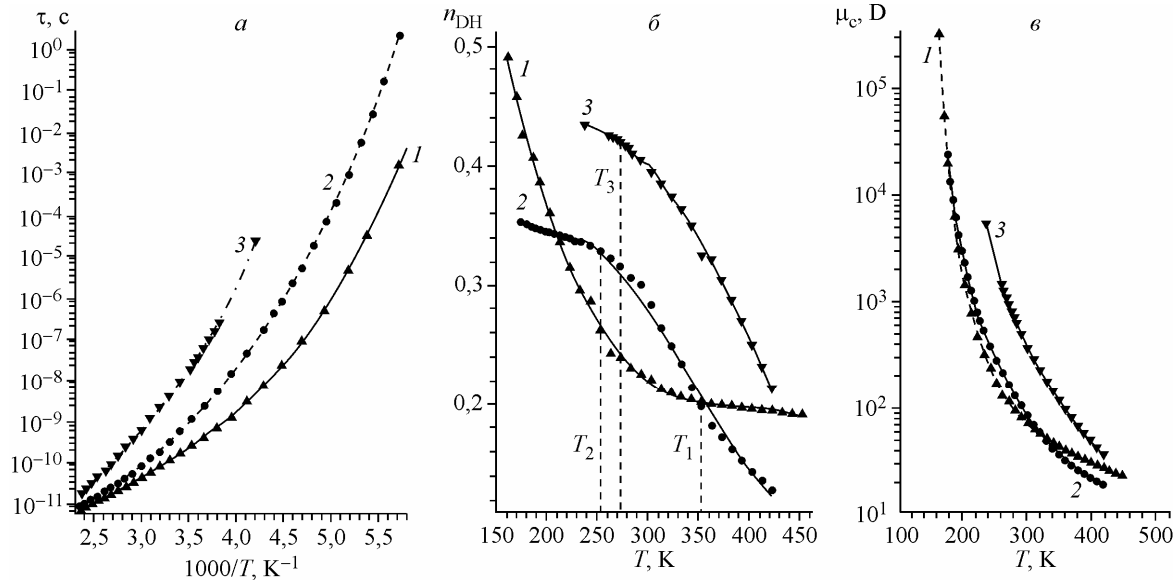
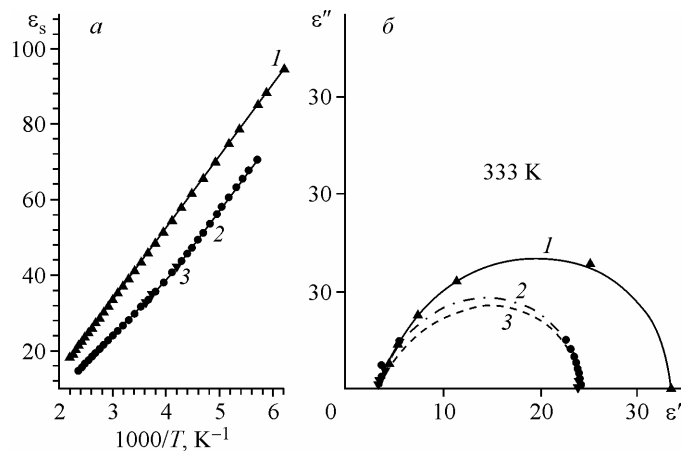


Рис. 2. Температурные зависимости интегральных времен релаксации τ_{DHe} (а), параметров корреляции n_{DH} (б) и дипольных моментов кластеров μ_c (в): 1 — ЭД, 2 — ПД, 3 — ГТ. Линиями отмечены температуры T_i , с которых начинается замедление изменений $n_{DH}(T)$: $T_1 = 353 \text{ К}$, $T_2 = 253 \text{ К}$, $T_3 = 273 \text{ К}$

Значения T_c и B_{DH} , использованные в данной (T_c^{new} , B_{DH}^{new}) и предыдущих (T_c^{old} , B_{DH}^{old}) работах

Соединение	T_c^{old} , К	B_{DH}^{old} , кДж/моль	Литература	$T_{\infty VFT}$, К	$T_c^{new} = T_{gdVLF}$, К	B_{DH}^{new} , кДж/моль	$\zeta \cdot 10^{-12}$, Гц	$v_{oDH} \cdot 10^{-12}$, Гц	f_B , см ⁻¹
ЭД	155,0	2,964	[8]	120,33	156,84	2,869	45,18	8,91	240
ПД	169,0	2,390	[9]	119,66	169,52	2,396	37,74	53,91	200
ГТ	207,7	0,812*	[6]	142,97	197,36	2,625	41,35	59,68	219

* Была использована неверная формула для выбора B_{DH}^{old} [6].

Среднестатистический квадрат дипольного момента кластера $\langle \mu_c^2 \rangle$ может быть рассчитан из амплитуды области дисперсии с помощью уравнения ДХ [11]:

$$\varepsilon_s - \varepsilon_{\infty DH} = \left(\frac{\omega_{DH}}{\zeta} \right)^{n_{DH}} \cos \left(\frac{n_{DH}\pi}{2} \right) \frac{N_A}{V_m} \langle \mu_c^2 \rangle \frac{(1-M_e^2)}{kT} \left\{ 1 - \frac{T_c}{T} (1-M_e^2) \right\}^{-1} \frac{\Gamma(1-n_{DH})}{m_{DH}}, \quad (2)$$

где $\Gamma(1 - n_{DH})$ — Гамма-функция; N_A — число Авогадро; V_m — молярный объем; T_c — характеристическая температура; $M_e = \text{tg}[(B_{DH} + kT_c M_e)/kT]$ — единичный вектор продольной компоненты среднестатистического дипольного момента кластера μ_c .

В данной работе основной параметр — характеристическую температуру T_c — мы полагали равным температуре стеклования T_{gd} , найденной при обработке температурных зависимостей времен релаксации τ_{DHe} с помощью уравнения Вильямса—Лэндела—Ферри (WLF) [29], при которой $\tau_{DH}(T_{gd}) = \tau_{gWLF}(T_{gd}) = 100$ с (см. таблицу):

$$\lg(\tau(T) / \tau_{gWLF}(T_{gd})) = -c_1(T - T_{gd}) / (c_2 + T - T_{gd}) \quad \text{при} \quad T > T_{gd}. \quad (3)$$

Коэффициенты данного уравнения связаны с параметрами эмпирического уравнения Фогеля—Фулчера—Таммана (VFT) [29]:

$$\tau_{VFT} = \tau_{\infty VFT} \exp(U_{VFT} / RT), \quad (4)$$

где $\tau_{\infty VFT}$ — постоянная; R — универсальная газовая постоянная. Энергия активации процесса диэлектрической релаксации U_{VFT} зависит от температуры:

$$U_{VFT} = U_{\infty VFT} T / (T - T_{\infty VFT}), \quad (5)$$

где $T_{\infty VFT}$ — температура, при которой $\tau_{VFT} \rightarrow \infty$. Параметры уравнения VFT равны $c_1 = U_{\infty VFT}/2,303kc_2$, $c_2 = T_{gd} - T_{\infty VFT}$. В таблице значения $T_c^{new} = T_{gdVLF}$, использованные в данной работе, сопоставлены с T_c^{old} из работ [6, 8, 9].

Для ЭД и ПД рассчитанные величины T_c^{new} мало отличаются от T_c^{old} , определенных калориметрическим методом, которые были использованы нами ранее [8, 9]. Температуры стеклования T_g (ГТ), измеренные калориметрическим методом, составляют $206,4 \pm 0,5$ К [30] и $207,7$ К [31], т.е. в пределах погрешности измерений практически совпадают. Значительное расхождение между T_c (ГТ) = T_g (ГТ) и T_c^{new} (ГТ), вероятно, связано с тем, что разница между T_{gd} и ближайшей к ней температуре, для которой определено значение τ_{DCe} (ГТ) (238 К), составляет ~ 30 К, тогда как для ЭД и ПД эти интервалы равны 4,2 и 5,5 К соответственно. Выбранные нами значения T_c^{new} увеличиваются в той же последовательности, что и интегральные времена релаксации τ_{DHe} : T_c^{new} (ГТ) $>$ T_c^{new} (ПД) $>$ T_c^{new} (ЭД).

В настоящей работе (в отличие от работ [6, 8]) при расчетах среднестатистических квадратов дипольных моментов кластеров $\langle \mu_c^2 \rangle$ круговые частоты колебаний молекул внутри кластеров ζ рассчитывали не через моменты инерции молекул, а с помощью параметров B_{DH}^{new} (см. таблицу), найденных в рамках модели ДХ для времени релаксации суммарного коопера-

тивного процесса τ_{DHth} [11—15] по методике, описанной в работах [9, 22], с помощью уравнения:

$$\tau_{\text{DHth}} = \tau_{\infty\text{DH}} \exp(U_{\text{DH}}/kT) / \cosh\left(\frac{B_{\text{DH}} + kT_c M_e}{kT}\right) \left\{ 1 - \frac{T_c}{T} (1 - M_e^2) \right\}, \quad (6)$$

где $\tau_{\infty\text{DH}} = 1/v_{\infty\text{DH}}$, $v_{\infty\text{DH}}$ — максимальная скорость перехода через минимальный средний активационный барьер $U_{\text{DH}} = E_{\text{DH}} + B_{\text{DH}} + kT_c M_e$; k — постоянная Больцмана. Согласно работам [9, 12, 22, 32], можно считать, что параметр $B_{\text{DH}} = \hbar\zeta N_A = h\zeta N_A/2\pi$, где $h = 6,62 \cdot 10^{-34}$ Дж·с — постоянная Планка, выражает в нормированных единицах круговую частоту $\zeta = 2\pi B_{\text{DH}}/hN_A$ (Гц). Выбранные нами значения $B_{\text{DH}}^{\text{new}}$ и соответствующие им частоты ζ (см. таблицу) возрастают не в порядке увеличения молекулярной массы: $B_{\text{DH}}^{\text{new}}(\text{ЭД}) > B_{\text{DH}}^{\text{new}}(\text{ГТ}) > B_{\text{DH}}^{\text{new}}(\text{ПД})$ и $\zeta(\text{ЭД}) > \zeta(\text{ГТ}) > \zeta(\text{ПД})$. Можно отметить, что для ПД величина $B_{\text{DH}}^{\text{new}} = 2,396$ кДж/моль близка к энергии $\Delta E = 2,54$ кДж/моль конформера $g'Gt$ [24], который менее устойчив, чем конформер $tG'g$, но имеет тот же дипольный момент $\mu_v = 2,29$ Д, что и конформер $tG'g$. С другой стороны, в работе [11] отмечено, что величина ζ может меняться в пределах $0 < \zeta < v_{\infty\text{DH}} = 1/\tau_{\infty\text{DH}}$. Для ПД и ГТ данное условие выполняется (см. таблицу). Кроме того, в работе [14, с. 149] указано, что выбранные частоты $\zeta = 2\pi f_B$ являются центром полосы колебательных мод в дальней ИК области. Как видно из таблицы, линейные частоты f_B , выраженные в $f_B = 2\pi B_{\text{DH}}^{\text{new}}/hN_A$ (Гц) или $f_B = \zeta/2\pi \cdot 3 \cdot 10^{10}$ (см^{-1}), удовлетворяют данному предположению. Для ПД проведенный нами анализ [9] показал, что величины f_B согласуются с результатами исследования спектров некогерентного неупругого рассеяния нейтронов и рамановских спектров.

Расчеты средних дипольных моментов кластеров μ_c по уравнению ДХ (2) при подстановке параметров $m_{\text{DH}} = 1$, $n_{\text{DH}} = 1/\tau_{\text{DHc}}$, описывающих экспериментальные ДРС, и выбранных выше T_c^{new} , $B_{\text{DH}}^{\text{new}}$ показывают (см. рис. 2, *в*), что температурные зависимости $\mu_c(\text{ПД})$, $\mu_c(\text{ЭД})$ и $\mu_c(\text{ГТ})$ коррелируют с рассмотренными выше дипольными моментами изолированных молекул $\mu_v(\text{ЭД}) \cong \mu_v(\text{ПД}) < \mu_v(\text{ГТ})$: в интервале температур 238—423 К самые высокие значения наблюдаются для ГТ. Температурные зависимости $\mu_c(\text{ПД})$ и $\mu_c(\text{ЭД})$ близки, а отличие значений $\mu_c(\text{ГТ})$ от $\mu_c(\text{ПД})$ и $\mu_c(\text{ЭД})$ уменьшается с ростом температуры. Если при 238 К отношения $\mu_c(\text{ГТ})/\mu_c(\text{ЭД}) = 17$ и $\mu_c(\text{ГТ})/\mu_c(\text{ПД}) = 10$, то при 303 К они равны 1,5 и 1,2 соответственно.

Сравнение зависимостей $n_{\text{DH}}(T)$, $n_{\text{DH}}(E_{\text{DH}})$ и $n_{\text{DH}}(E_{dd})$ на рис. 2, *б*, 3, *а* и *б* позволяет качественно проследить перераспределение вкладов внутрикластерных процессов разрыва и образования МВС и процессов синхронного обмена молекулами при перестройке структуры кластеров.

Как видно из рис. 2 и 3, температурные зависимости $n_{\text{DH}}(\text{ПД})$ и $n_{\text{DH}}(\text{ГТ})$ (см. рис. 2, *б*), $\mu_c(\text{ПД})$ и $\mu_c(\text{ГТ})$ (см. рис. 2, *в*), а также зависимости от E_{DH} $n_{\text{DH}}(\text{ПД})$ и $n_{\text{DH}}(\text{ГТ})$ (см. рис. 3, *а*) и от E_{dd} $n_{\text{DH}}(\text{ПД})$ и $n_{\text{DH}}(\text{ГТ})$ (см. рис. 3, *б*) идут почти параллельно. Вид графиков $n_{\text{DH}}(\text{ПД})$ и $n_{\text{DH}}(\text{ГТ})$ от T и $n_{\text{DH}}(\text{ПД})$ и $n_{\text{DH}}(\text{ГТ})$ от E_{DH} свидетельствует о том, что с понижением температуры (с приближением к температуре стеклования T_{gd}) рост величин n_{DH} замедляется. Например, при уменьшении температуры от 243 до 175 К величина $E_{\text{DH}}(\text{ПД})$ увеличивается на ~65 % (от 28 до 46 кДж/моль) (см. рис. 3, *а*), а корреляция процессов внутрикластерных перестроек $n_{\text{DH}}(\text{ПД})$ всего на 6 % (от 0,332 до 0,353) (см. рис. 2, *б*). Такое поведение $n_{\text{DH}}(E_{\text{DH}})$ свидетельствует о том, что в ПД и ГТ в окрестности T_{gd} определяющую роль в перестройке структуры кластеров играют синхронные обмены молекулами между кластерами. Данное заключение согласуется с отсутствием резкого замедления на зависимостях $n_{\text{DH}}(\text{ПД})$ и $n_{\text{DH}}(\text{ГТ})$ от E_{dd} (см. рис. 3, *б*) ($E_{dd} = B_{\text{DH}} + kT_c M_e$ — энергия диполь-дипольных ориентационных взаимодействий для синхронного флуктуационного процесса обмена молекулами между соседними кластерами).

Сравнение энергий активации E_{DH} релаксационных процессов, обусловливающих изменение дипольных моментов кластеров за счет разрыва и образования МВС, показывает, что $E_{\text{DH}}(\text{ГТ}) > E_{\text{DH}}(\text{ПД}) > E_{\text{DH}}(\text{ЭД})$. Поэтому релаксационные процессы перестройки молекулярной

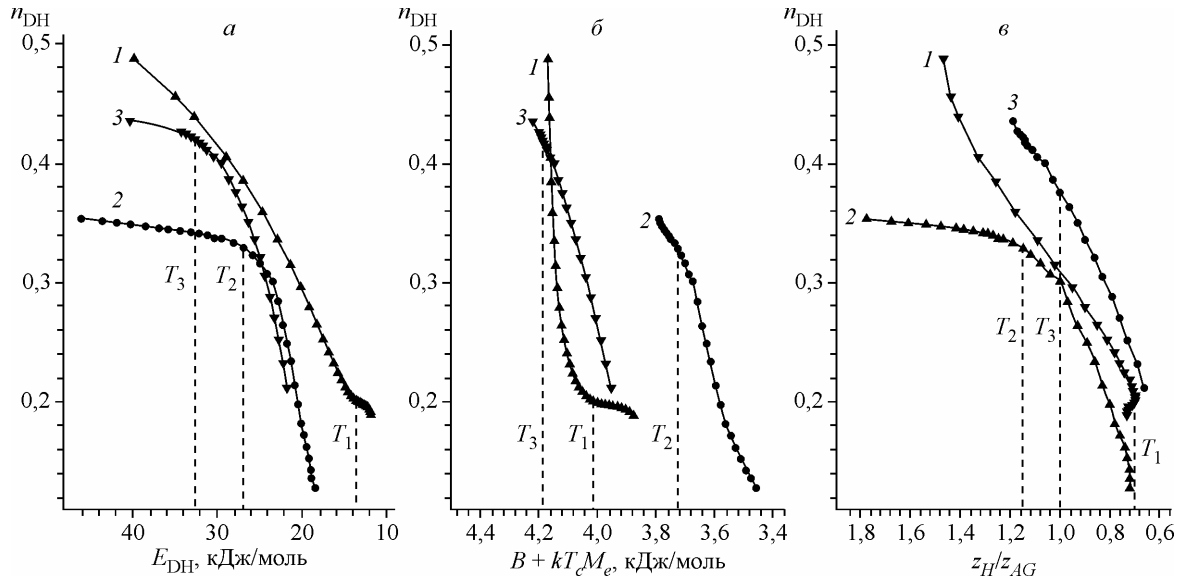


Рис. 3. Зависимости параметра n_{DH} от E_{DH} (а), $B+kT_cM_e$ (б), z_H/z_{AG} (в). Обозначения как на рис. 2

структуры кластеров ГТ протекают медленнее, чем в ПД и ЭД, а времена релаксации $\tau_{DHe}(GT) > \tau_{DHe}(PD) > \tau_{DHe}(ED)$ (см. рис. 2, а). Соотношения между E_{dd} [22] во всем интервале температур имеют другой вид: $E_{dd}(GT) > E_{dd}(ED) > E_{dd}(PD)$. При $T_e = 233$ К $E_{dd}(GT)$ лишь немного выше $E_{dd}(ED)$: $4,221 > 4,137 > 3,748$ кДж/моль.

В отличие от ПД и ГТ n_{DH} у ЭД меняется медленно при высоких температурах (см. рис. 2, б и 3, б). При увеличении температуры от 353 до 453 К E_{dd} у ЭД уменьшается от 4,039 до 3,878 кДж/моль, а n_{DH} убывает с 0,201 до 0,189. Значит, в данном интервале температур при перестройке структуры кластеров ЭД синхронные обмены молекулами между кластерами происходят практически свободно, и основную роль играют внутрикластерные процессы разрыва и образования МВС. Резкий рост $n_{DH}(ED)$ при $T < 353$ К указывает на возрастающую роль межкластерной среды при перестройке структуры кластеров ЭД с приближением к T_{gd} .

При температурах выше 400 К наблюдается аррениусовское поведение зависимостей времен релаксации $\tau_{DHe}(1/T)$, когда кажущиеся энталпии активации $H_{DHe}(1/T)$ выходят на плато H_{DHA} , равные 22,18, 25,43, 29,68 кДж/моль. Эти значения H_{DHA} близки к энталпиям разрыва одной Н-связи в одноатомных спиртах [2]. Тогда при других температурах общее число МВС, которые должны разорваться, чтобы переориентация молекул внутри кластера могла изменить его дипольный момент μ_c , равно $z_H(T) = H_{DHe}(T)/H_{DHA}$, и $z_H(GT) > z_H(PD) > z_H(ED)$ (рис. 4, а). Значит, при перестройке молекулярной структуры кластеров в ЭД при $T < 353$ К рвется меньшее число МВС, чем в ПД и ГТ.

С другой стороны, нелинейная температурная зависимость времени релаксации может быть описана уравнением Адама—Гиббса (АГ) [33]: $\tau_{VFT} = \tau_{\infty VFT} \exp(z_{AG} \Delta \mu/kT)$, где $z_{AG} = T/(T - T_{\infty VFT})$ — минимальное число молекул z_{AG} , которые обладают достаточной энергией, чтобы преодолеть одновременно потенциальный барьер $\Delta \mu = U_{\infty VFT}$ в элементарном акте процесса внутрикластерных перестроек. Так как $T_{\infty VFT}$ ЭД и ПД близки (см. таблицу), то расхождение между числами молекул z_{AG} , которые участвуют в перестройке структуры кластеров ЭД и ПД, не превышает 1 %. Из-за более длинного у/в радикала и присутствия третьей ОН-группы для перестройки структуры кластера ГТ необходима переориентация большего числа молекул: $z_{AG}(GT) > z_{AG}(ED) \approx z_{AG}(PD)$ (см. рис. 4, б).

Наиболее четко различие процессов перестройки структуры кластеров проявляется в отношениях $z_m = z_H/z_{AG}$, характеризующих число МВС, которое необходимо разорвать для переориентации одной молекулы (см. рис. 4, в). При одной и той же температуре наименьшее число

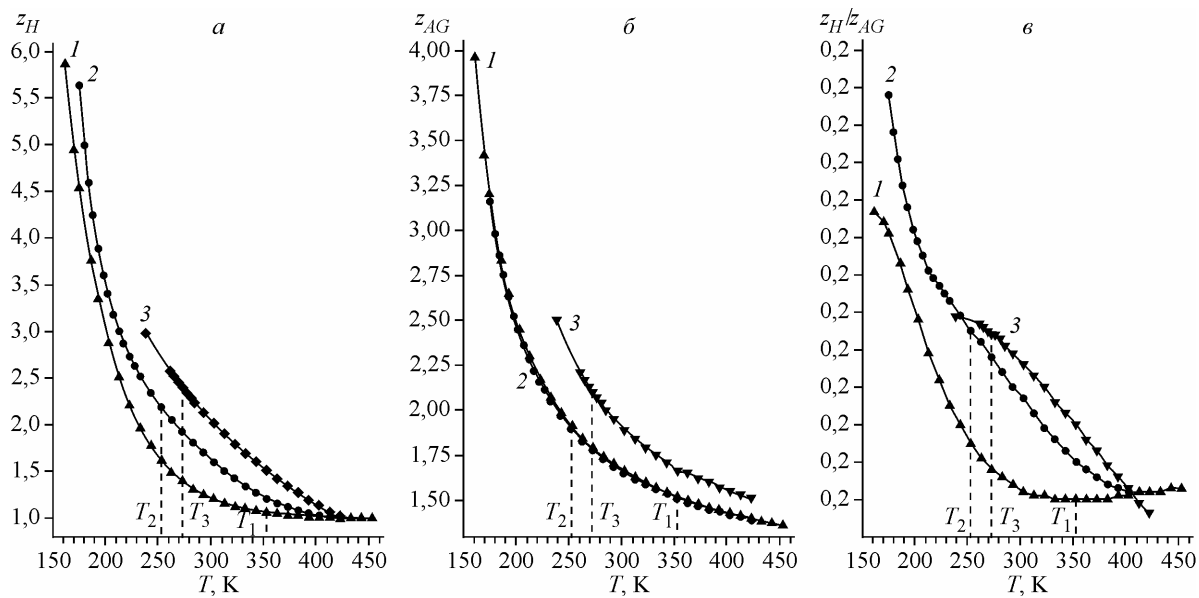


Рис. 4. Температурные зависимости чисел z_H (а), z_{AG} (б), z_H/z_{AG} (в). Обозначения, как на рис. 2

МВС z_m рвется при переориентации молекулы ЭГ. В области стеклования число рвущихся МВС в ЭГ ($z_m = 1,47$) меньше, чем в ПД ($z_m = 1,78$) (эти величины z_m соответствуют температурам, превышающим T_{gdVLF} на 4,16 и 5,48 К соответственно). Сравнение рис. 2, б и 3, в позволяет количественно оценить, при каких z_m наблюдается отмеченное выше перераспределение кооперативных процессов перестройки структуры кластеров. Определяющая роль синхронных обменов молекулами между кластерами в перестройке структуры кластеров в ЭД наблюдается в более широком интервале температур (при $T < 353$ К, $z_m > 0,7$), чем в ПД (при $T < 253$ К, $z_m > 1,15$) и ГТ (при $T < 273$ К, $z_m > 1,14$). Выше этих T основную роль играют внутрикластерные процессы разрыва и образования МВС.

Таким образом, анализ ДРС в широком интервале температур, включая область стеклования, в рамках модели ДХ позволяет рассчитывать средние дипольные моменты кластеров, хотя и не дает информации об их пространственной структуре. Учет помимо энергии активации вклада диполь-дипольных ориентационных взаимодействий позволяет судить о степени влияния активационных и флуктуационных процессов на процессы перестройки структуры кластеров. Используя теорию АГ, удается дать количественное объяснение процессам разрыва и образования Н-связей, но конкретные механизмы флуктуационных процессов теория ДХ не объясняет.

СПИСОК ЛИТЕРАТУРЫ

- Фрелих Г. Теория диэлектриков. – М.: ИЛ, 1960. Frölich H. Theory of dielectrics. – Oxford: Clarendon press, 1958.
- Шахпаронов М.И. Механизмы быстрых процессов в жидкостях. – М.: Высшая школа, 1980.
- Журавлев В.И., Гринева О.В., Лифанова Н.В., Усачева Т.М. // Журн. физ. химии. – 1997. – 71, № 12. – С. 2282 – 2285.
- Журавлев В.И., Усачева Т.М., Лифанова Н.В. // Журн. физ. химии. – 1998. – 72, № 4. – С. 637 – 643.
- Zhuravlev V.I., Lifanova N.V., Usacheva T.M. // J. Mol. Liquids. – 2005. – 120. – P. 107 – 110.
- Усачева Т.М., Лифанова Н.В., Журавлев В.И. и др. // Журн. физ. химии. – 2001. – 75, № 7. – С. 1258 – 1262.
- Лифанова Н.В., Усачева Т.М., Журавлев В.И., Матвеев В.К. // Журн. физ. химии. – 2007. – 81, № 5. – С. 943 – 951.
- Лифанова Н.В., Усачева Т.М., Журавлев В.И., Матвеев В.К. // Журн. физ. химии. – 2008. – 82, № 10. – С. 1973 – 1981.

9. Усачева Т.М., Лифанова Н.В., Журавлев В.И., Матвеев В.К. // Журн. физ. химии. – 2010. – **84**, № 7. – С. 1315 – 1323.
10. Durov V.A., Shilov I.Y. // J. Mol. Liquids. – 2007. – **136**. – P. 300 – 309.
11. Dissado L.A., Hill R.M. // Nature. – 1979. – **279**. – P. 685 – 689.
12. Dissado L.A., Hill R.M. // Philos. Mag. Part B. – 1980. – **41**, N 6. – P. 625 – 642.
13. Dissado L.A., Hill R.M. // J. Chem. Soc. Faraday Trans. II. – 1982. – **78**, N 1. – P. 81 – 93.
14. Dissado L.A., Hill R.M. // Proc. R. Soc. Lond. A. – 1983. – **390**. – P. 131 – 180.
15. Hill R.M., Dissado L.A. // J. Phys. C: Solid State Phys. – 1982. – **15**, N 25. – P. 5171 – 5193.
16. Hill R.M. // Phys. Status Solidi B. – 1981. – **103**, N 1. – P. 319 – 328.
17. Havriliak S., Negami S. // Polymer. – 1967. – **8**, N 8. – P. 161 – 210.
18. Tamariit J. LI., Perez-Jubindo M.A., Fuente M.R. // J. Phys.: Condens. Matter. – 1997. – **9**. – P. 5469 – 5478.
19. Forsman H., Andersson P., Bäckström G. // J. Chem. Soc. Faraday. Trans. II. – 1986. – **82**. – P. 857 – 868.
20. Forsman H. // Mol. Phys. – 1988. – **63**. – P. 65 – 75.
21. Forsman H. // J. Phys. D.: Appl. Phys. – 1989. – **22**. – P. 1528 – 1536.
22. Усачева Т.М., Лифанова Н.В., Журавлев В.И., Матвеев В.К. // Журн. структур. химии. – 2009. – **50**, № 5. – С. 967 – 979.
23. Усачева Т.М., Лифанова Н.В., Журавлев В.И., Матвеев В.К. // Журн. физ. химии. – 2002. – **76**, № 12. – С. 2154 – 2159.
24. Lovas F.J., Plusquellec D.F., Pate B.H. et al. // J. Mol. Spectr. – 2009. – **257**, N 1. – P. 82 – 93.
25. Vázquez S., Mosquera R.A., Rio M.A., Alsenoy C.V. // J. Mol. Struct. (Theochem). – 1989. – **184**. – P. 323 – 342.
26. Caminati W. // J. Mol. Spectr. – 1981. – **86**. – P. 193 – 201.
27. Lockley T.J.L., Hearn P.I., King A.K., Howard B.J. // J. Mol. Struct. – 2002. – **612**. – P. 199 – 206.
28. Справочник по дипольным моментам / О.А. Осипов, В.И. Минкин, А.Д. Грановский. – М.: Высшая школа., 1971.
29. Ферри Дж. Вязкоупругие свойства полимеров. – М.: Изд-во иностр. лит., 1963. Ferry J.D. Viscoelastic properties of polymers. – New York—London, 1961.
30. Dorfmüller Th., Dux H., Fytas G., Mersch W. // J. Chem. Phys. – 1971. – **71**, N 1. – P. 366 – 375.
31. Fransson N., Backstrom G. // Mol. Phys. – 1987. – **61**, N 1. – P. 131 – 141.
32. Даниэльс Ф., Олберти Р. Физическая химия. – М.: Мир, 1978. Physical Chemistry. John Wiley and Sons, Inc. New York—London—Sydney—Toronto.
33. Adam G., Gibbs J.H. // J. Chem. Phys. – 1965. – **43**, N 1. – P. 139 – 146.